

# Expression et optimisation des réorganisations de données dans du parallélisme de flots

## CEA LIST

Pablo de Oliveira Castro<sup>1,3</sup>  
Encadrant : Stéphane Louise<sup>1</sup>  
Directeur de thèse : Denis Barthou<sup>2</sup>

<sup>1</sup>CEA LIST  
<sup>2</sup>Université de Bordeaux  
<sup>3</sup>Université de Versailles St Quentin

# Introduction

- ▶ Contexte
- ▶ Modèle d'exécution : Flots de données
- ▶ État de l'Art
- ▶ Problématique

## Contexte (1)

- ▶ Pour augmenter la puissance de calcul les fonderies se tournent vers les multicœurs :
  - ▶ Intel annonce un chip avec 80 cœurs
- ▶ Le marché de l'embarqué ne fait pas exception : Picochip, Tilera, Ambric (> 100 cœurs).
- ▶ Programmation des architectures multicœur difficile.
  - ▶ Comment exprimer du parallélisme dans l'application ?
  - ▶ Comment trouver une parallélisation efficace pour la cible choisie ?

## Contexte (2)

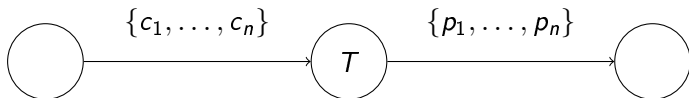
- ▶ Applications de traitement du signal embarquées :
  - ▶ dirigées par les données ;
  - ▶ routage de données statique ;
  - ▶ tâches s'exécutent sur un flot continu de données.
- ▶ Échange des données important pour obtenir une parallélisation efficace :
  - ▶ détermine les dépendances entre tâches ;
  - ▶ les patrons d'accès aux données impactent les performances.
- ▶ Sur un grand nombre de cœurs l'adaptation manuelle à l'architecture des patrons d'accès est très coûteuse.
- ▶ Comment exprimer et optimiser l'échange de données dans ces applications ?

# Choix du modèle d'exécution

- ▶ Modèle de *Threads* non déterministe.
- ▶ Dans le contexte de l'embarqué [Jantsch05] identifie trois modèles d'exécutions adaptés :
  - ▶ Modèles temps-réel
  - ▶ Rendez-vous
  - ▶ Flots de données

# Modèle d'exécution Cyclo-Static DataFlow (CSDF)

- ▶ Modèle de flots de données : Cyclo-Static DataFlow (CSDF)[Bilsen 95]
  - ▶ déterminisme de l'application ;
  - ▶ ordonnancement en mémoire bornée ;
  - ▶ détection des interblocages.
- ▶ Graphe de tâches qui communiquent à travers des arcs
- ▶ Cycles de consommation et production fixes



# Filtres et Nœuds de routage

- ▶ On distinguera deux types de nœuds dans les graphes CSDF :
  - ▶ Les **filtres** qui effectuent des calculs arbitrairement complexes sur les données.
  - ▶ Les **nœuds de routage** qui ne changent que l'ordre ou la multiplicité des éléments sur un flux.
- ▶ Dans cette thèse **les calculs sur les données ne nous intéressent pas**.

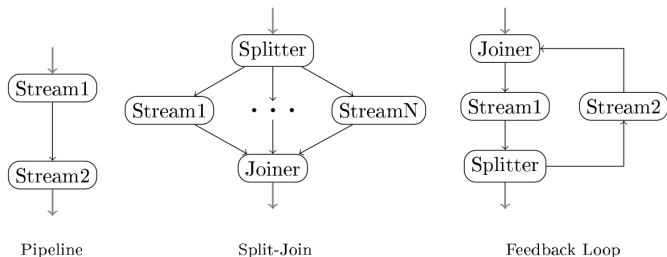
# Déclaration des dépendances entre filtres

- ▶ ArrayOL[Boulet 07], BlockParallel[Black-Schaffer 08] : réorganisation des données spécifiées par les dépendances d'entrée et de sortie des filtres.
- ▶ Les réorganisations de données ne sont pas programmées explicitement. Elles sont extraites des dépendances des filtres.



# Manipulation explicite des flots de données

- StreamIt[Gordon 02] : les données sur les flots sont réorganisées à l'aide de connecteurs,



- Brook[Liao 06] : les flots sont des objets de première classe manipulés par des fonctions (`streamStride`, `streamMerge`, etc.).

# Comparaison

Langage	Expression	Optimisation
ArrayOL	haut-niveau	trans. pas de méthode automatique
BlockParallel	haut-niveau	optimisation sur cas simples
StreamIt	bas-niveau	transformation de graphes
Brook	bas-niveau	partitionnement affine

# Problématique

- ▶ Combiner l'expressivité d'un langage de haut-niveau avec des optimisations de flots de données efficaces.
- ▶ Deux niveaux de langages : principe *Separation of concerns*
  - ▶ SLICES haut-niveau pour l'expression
  - ▶ SJD bas-niveau pour l'optimisation
- ▶ Comment compiler un programme SLICES en SJD ?
- ▶ Comment optimiser un programme SJD : c'est-à-dire l'adapter à l'architecture ?

# Plan

## Expression du routage de données

- Langage SJD

- Langage SLICES

## Transformations de graphes SJD

- Formalisation

- Ensemble de transformations SJD correctes

- Exploration de l'espace engendré

## Réduction du coût des communications

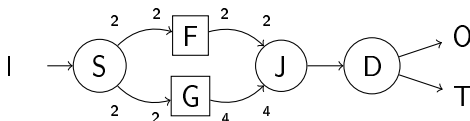
- Présentation du backend

- Réduction des communications

## Conclusion et Perspectives

# Présentation du langage SJD

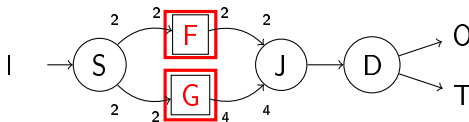
- ▶ SJD s'inscrit dans le modèle CSDF.



- ▶ Filtres : appliquent une fonction de calcul sur les entrées.
- ▶ Nœuds de routage :
  - ▶ Split : distribue les éléments en entrée en tourniquet.
  - ▶ Join : rassemble les éléments sur les entrées en tourniquet.
  - ▶ Duplicate : duplique un flot.
  - ▶ Entrées & Sorties
  - ▶ Puits (T) : n'observe pas les éléments consommés.
  - ▶ Constante : produit un flot infini constant.
- ▶ Graphes **arbitraires et cycliques**.

# Présentation du langage SJD

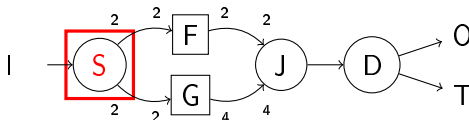
- ▶ SJD s'inscrit dans le modèle CSDF.



- ▶ **Filtres** : appliquent une fonction de calcul sur les entrées.
- ▶ Nœuds de routage :
  - ▶ Split : distribue les éléments en entrée en tourniquet.
  - ▶ Join : rassemble les éléments sur les entrées en tourniquet.
  - ▶ Duplicate : duplique un flot.
  - ▶ Entrées & Sorties
  - ▶ Puits (T) : n'observe pas les éléments consommés.
  - ▶ Constante : produit un flot infini constant.
- ▶ Graphes **arbitraires et cycliques**.

# Présentation du langage SJD

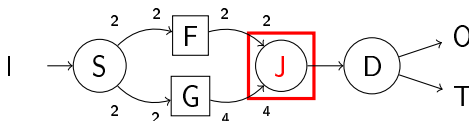
- ▶ SJD s'inscrit dans le modèle CSDF.



- ▶ Filtres : appliquent une fonction de calcul sur les entrées.
- ▶ Nœuds de routage :
  - ▶ **Split** : distribue les éléments en entrée en tourniquet.
  - ▶ Join : rassemble les éléments sur les entrées en tourniquet.
  - ▶ Duplicate : duplique un flot.
  - ▶ Entrées & Sorties
  - ▶ Puits (T) : n'observe pas les éléments consommés.
  - ▶ Constante : produit un flot infini constant.
- ▶ Graphes **arbitraires et cycliques**.

# Présentation du langage SJD

- ▶ SJD s'inscrit dans le modèle CSDF.

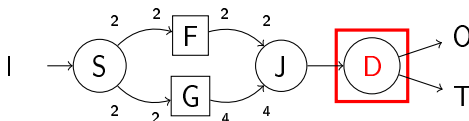


- ▶ Filtrés : appliquent une fonction de calcul sur les entrées.
- ▶ Nœuds de routage :
  - ▶ Split : distribue les éléments en entrée en tourniquet.
  - ▶ **Join** : rassemble les éléments sur les entrées en tourniquet.
  - ▶ Duplicate : duplique un flot.
  - ▶ Entrées & Sorties
  - ▶ Puits (T) : n'observe pas les éléments consommés.
  - ▶ Constante : produit un flot infini constant.
- ▶ Graphes **arbitraires et cycliques**.



# Présentation du langage SJD

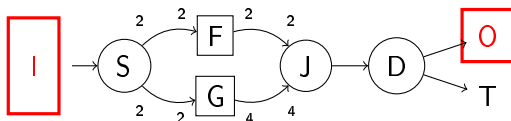
- ▶ SJD s'inscrit dans le modèle CSDF.



- ▶ Filtres : appliquent une fonction de calcul sur les entrées.
- ▶ Nœuds de routage :
  - ▶ Split : distribue les éléments en entrée en tourniquet.
  - ▶ Join : rassemble les éléments sur les entrées en tourniquet.
  - ▶ **Duplicate** : duplique un flot.
  - ▶ Entrées & Sorties
  - ▶ Puits (T) : n'observe pas les éléments consommés.
  - ▶ Constante : produit un flot infini constant.
- ▶ Graphes **arbitraires et cycliques**.

# Présentation du langage SJD

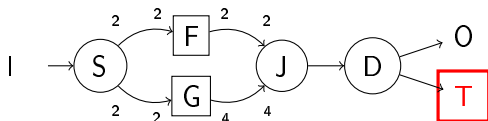
- ▶ SJD s'inscrit dans le modèle CSDF.



- ▶ Filtrés : appliquent une fonction de calcul sur les entrées.
- ▶ Nœuds de routage :
  - ▶ Split : distribue les éléments en entrée en tourniquet.
  - ▶ Join : rassemble les éléments sur les entrées en tourniquet.
  - ▶ Duplicate : duplique un flot.
  - ▶ Entrées & Sorties
  - ▶ Puits (T) : n'observe pas les éléments consommés.
  - ▶ Constante : produit un flot infini constant.
- ▶ Graphes arbitraires et cycliques.

# Présentation du langage SJD

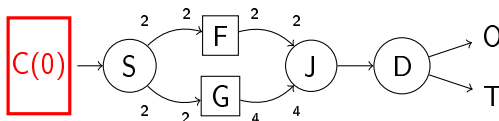
- ▶ SJD s'inscrit dans le modèle CSDF.



- ▶ Filtres : appliquent une fonction de calcul sur les entrées.
- ▶ Nœuds de routage :
  - ▶ Split : distribue les éléments en entrée en tourniquet.
  - ▶ Join : rassemble les éléments sur les entrées en tourniquet.
  - ▶ Duplicate : duplique un flot.
  - ▶ Entrées & Sorties
  - ▶ **Puits (T)** : n'observe pas les éléments consommés.
  - ▶ Constante : produit un flot infini constant.
- ▶ Graphes **arbitraires et cycliques**.

# Présentation du langage SJD

- ▶ SJD s'inscrit dans le modèle CSDF.



- ▶ Filtres : appliquent une fonction de calcul sur les entrées.
- ▶ Nœuds de routage :
  - ▶ Split : distribue les éléments en entrée en tourniquet.
  - ▶ Join : rassemble les éléments sur les entrées en tourniquet.
  - ▶ Duplicate : duplique un flot.
  - ▶ Entrées & Sorties
  - ▶ Puits (T) : n'observe pas les éléments consommés.
  - ▶ **Constante** : produit un flot infini constant.
- ▶ Graphes **arbitraires** et **cycliques**.

## Accès aux données : Multiplication de matrices

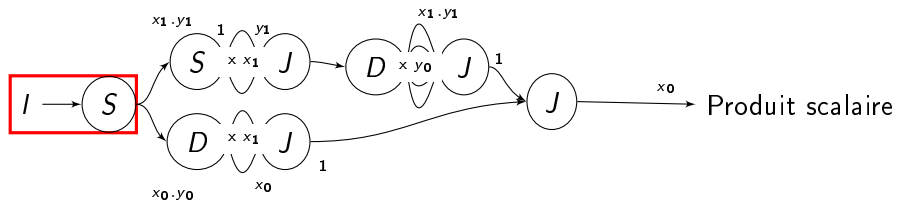
$$C_{y_0, x_1} = A_{y_0, x_0} \times B_{y_1, x_1} \text{ et } x_0 = y_1$$

```
for (j = 0; j < y0; j++)  
  for (i = 0; i < x1; i++)  
    for (k = 0; k < x0; k++)  
      C[j, i] += A[j, k] * B[k, i]
```

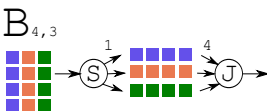
- Pour effectuer le produit scalaire on accède aux données dans l'ordre :
  - $A_{0,0}, B_{0,0}, A_{0,1}, B_{1,0}, A_{0,2}, B_{2,0}, \dots$
- Comment exprimer ce patron d'accès aux données en SJD ?

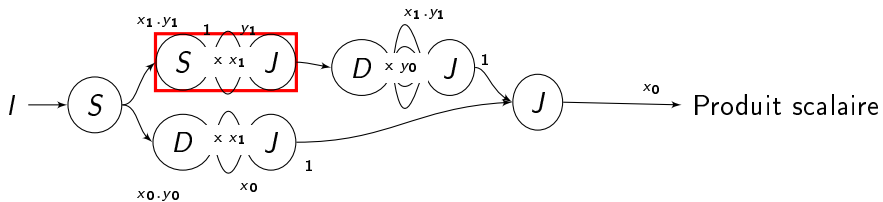
# Multiplication Matricielle en SJD

$$C_{y_0, x_1} = A_{y_0, x_0} \times B_{y_1, x_1}$$



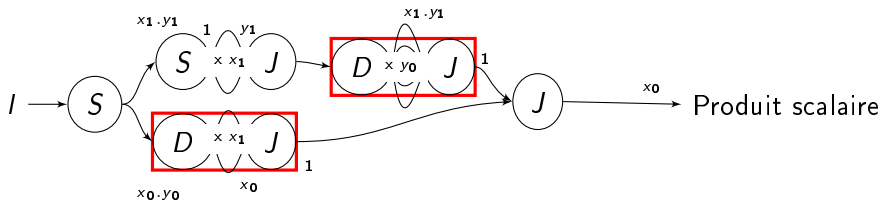
# Multiplication Matricielle en SJD

$$C_{y_0, x_1} = A_{y_0, x_0} \times B_{y_1, x_1}$$




# Multiplication Matricielle en SJD

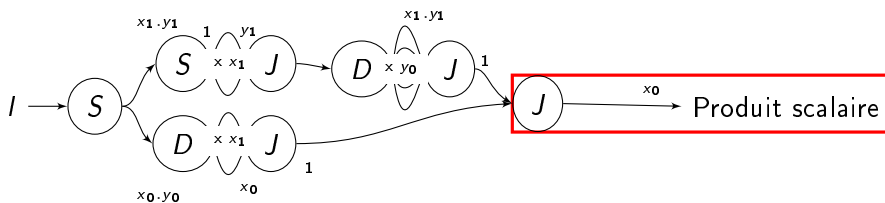
$$C_{y_0, x_1} = A_{y_0, x_0} \times B_{y_1, x_1}$$





# Multiplication Matricielle en SJD

$$C_{y_0, x_1} = A_{y_0, x_0} \times B_{y_1, x_1}$$



# Expressivité du langage SJD

- ▶ Les filtres peuvent exprimer des programmes Turing-complets
- ▶ ... mais les réorganisations de données exprimées dans les filtres sont opaques pour notre compilateur.
- ▶ Quelle est l'expressivité des nœuds de routage ?

## Théorème

Les graphes SJD composés uniquement de nœuds de routage réalisent exactement tous les arrangements avec répétition des données entrantes.

- ▶ StreamIt ne peut modéliser tous les arrangements, par exemple, impossible d'inverser l'ordre des éléments d'un vecteur.

# Objets du langage SLICES

Cinq concepts :

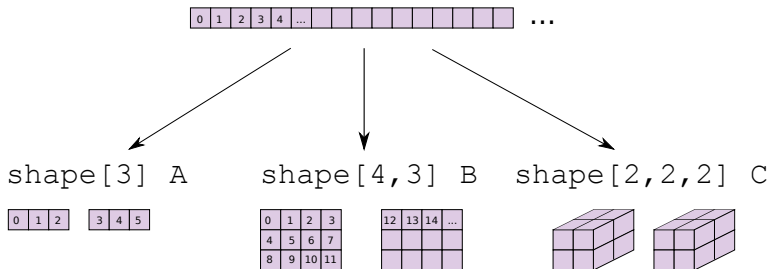
- ▶ Formes
- ▶ Grille
- ▶ Blocs
- ▶ Iterateur
- ▶ Zip

Un système de types garantit la correction des programmes à la compilation.

# Formes

- Vue multidimensionnelle des données.

```
shape[a,b,c, ...] I = flot.input
```



# Grilles

- ▶ Sélectionne des points régulièrement espacés sur une shape.
- ▶ `shape[10,5]` `I = flot input`
- ▶ `I[2:10:3, 0:3:2]`

y \ x	0	1	2	3	4	5	6	7	8	9
0			1			2			3	
1										
2			4			5			6	
3										
4										

# Blocs

- Un bloc c'est une boîte de points à extraire :  $(-1:1, 0:1)$

	-1	1
0		
1		

- Les blocs sont positionnés sur les points d'une grille.
- $I[2:10:3, 0:3:2] \times (-1:1, 0:1)$

y <sup>x</sup>	0	1	2	3	4	5	6	7	8	9
0										
1										
2										
3										
4										

# Blocs

- Un bloc c'est une boîte de points à extraire :  $(-1:1, 0:1)$

	-1	1
0		
1		

- Les blocs sont positionnés sur les points d'une grille.
- $I[2:10:3, 0:3:2] \times (-1:1, 0:1)$

y <sup>x</sup>	0	1	2	3	4	5	6	7	8	9
0										
1										
2										
3										
4										

# Blocs

- Un bloc c'est une boîte de points à extraire :  $(-1:1, 0:1)$

	-1	1
0		
1		

- Les blocs sont positionnés sur les points d'une grille.
- $I[2:10:3, 0:3:2] \times (-1:1, 0:1)$

$y \backslash x$	0	1	2	3	4	5	6	7	8	9
0										
1										
2										
3										
4										



# Blocs

- Un bloc c'est une boîte de points à extraire :  $(-1:1, 0:1)$

	-1	1
0		
1		

- Les blocs sont positionnés sur les points d'une grille.
- $I[2:10:3, 0:3:2] \times (-1:1, 0:1)$

y <sup>x</sup>	0	1	2	3	4	5	6	7	8	9
0										
1										
2										
3										
4										

# Blocs

- Un bloc c'est une boîte de points à extraire :  $(-1:1, 0:1)$

	-1	1
0		
1		

- Les blocs sont positionnés sur les points d'une grille.
- $I[2:10:3, 0:3:2] \times (-1:1, 0:1)$

y <sup>x</sup>	0	1	2	3	4	5	6	7	8	9
0										
1										
2										
3										
4										

# Blocs

- Un bloc c'est une boîte de points à extraire :  $(-1:1, 0:1)$

	-1	1
0		
1		

- Les blocs sont positionnés sur les points d'une grille.
- $I[2:10:3, 0:3:2] \times (-1:1, 0:1)$

$y \backslash x$	0	1	2	3	4	5	6	7	8	9
0										
1										
2										
3										
4										

# Multiplication matricielle en SLICES

- ▶ Les itérateurs permettent de combiner les patrons d'accès précédents.
- ▶ On associe chaque ligne de A avec toutes les colonnes de B.

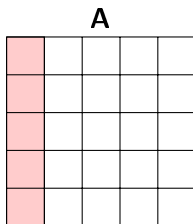
```
shape[5,5] A = A.input  
shape[5,5] B = B.input  
for l in A[0:1:1,0:5:1] x (0:4,0:0):  
    for c in B[0:5:1,0:1:1] x (0:0,0:4):  
        push l  
        push c
```

**A**


# Multiplication matricielle en SLICES

- ▶ Les itérateurs permettent de combiner les patrons d'accès précédents.
- ▶ On associe chaque ligne de A avec toutes les colonnes de B.

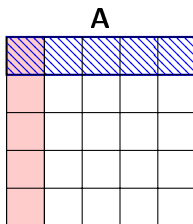
```
shape[5,5] A = A.input  
shape[5,5] B = B.input  
for l in A[0:1:1,0:5:1] x (0:4,0:0):  
    for c in B[0:5:1,0:1:1] x (0:0,0:4):  
        push l  
        push c
```



# Multiplication matricielle en SLICES

- ▶ Les itérateurs permettent de combiner les patrons d'accès précédents.
- ▶ On associe chaque ligne de A avec toutes les colonnes de B.

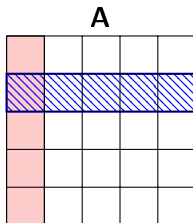
```
shape[5,5] A = A.input
shape[5,5] B = B.input
for l in A[0:1:1,0:5:1] x (0:4,0:0):
    for c in B[0:5:1,0:1:1] x (0:0,0:4):
        push l
        push c
```



## Multiplication matricielle en SLICES

- ▶ Les itérateurs permettent de combiner les patrons d'accès précédents.
- ▶ On associe chaque ligne de A avec toutes les colonnes de B.

```
shape[5,5] A = A.input  
shape[5,5] B = B.input  
for l in A[0:1:1,0:5:1] x (0:4,0:0):  
    for c in B[0:5:1,0:1:1] x (0:0,0:4):  
        push l  
        push c
```



# Compilation de SLICES vers SJD

- ▶ On a implémenté un compilateur SLICES vers SJD.
- ▶ Pour la multiplication matricielle : le graphe produit est identique au graphe SJD écrit à la main.
- ▶ Le compilateur minimise le nombre de copies (nœud Duplicate) utilisés.



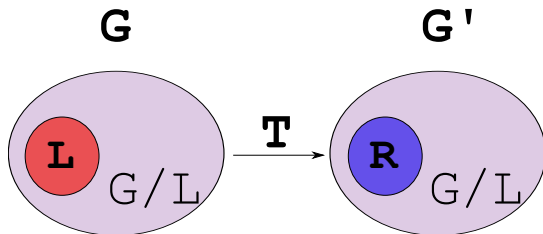
# Où en est-on ?

- ▶ Ce qu'on a vu :
  - ▶ Deux langages (SLICES, SJD) pour exprimer des réorganisations de données.
  - ▶ On peut compiler SLICES vers SJD.
- ▶ Ce qu'on va voir :
  - ▶ Comment optimiser un programme SJD avec des transformations de graphe.

# Optimisation par transformations

- ▶ Introduire un ensemble de transformations qui préservent la sémantique des programme.
- ▶ Ces transformations engendrent un espace de programmes équivalents.
- ▶ Choisir dans cet ensemble le programme le plus adapté à l'architecture.

## Correction d'une transformation CSDF

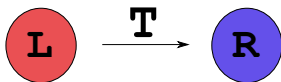


### Propriété

Une transformation  $G \xrightarrow{T} G'$  d'un graphe CSDF est *correcte* si

- ▶ Les traces en sortie de  $G$  et  $G'$  sont identiques pour les mêmes entrées.
- ▶ La transformation n'introduit pas d'interblocages (vivacité).
- ▶ Après transformation le graphe reste ordonnançable en mémoire bornée (consistance).

## Condition suffisante de correction



### Lemme : Correction locale

Si une transformation  $T$  qui remplace le sous-graphe  $L$  par le sous-graphe  $R$  vérifie

$$\begin{aligned} \exists b \in \mathbb{N}, \\ \forall I(L) = I(R) &\Rightarrow O(L) \leq O(R) \\ \forall I(L) = I(R) &\Rightarrow \max(\overline{O(R)} - \overline{O(L)}) \leq b \\ L \text{ est consistant} &\Rightarrow R \text{ est consistant} \end{aligned}$$

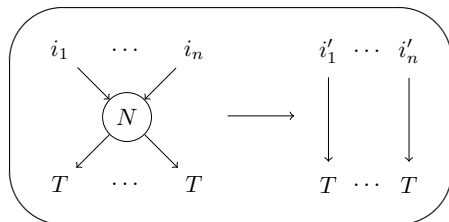
alors la transformation est *correcte* sur tout ordonnancement stationnaire indépendamment du contexte.

# Classification

- ▶ Deux familles de transformations :
  - ▶ Simplificatrices : enlèvent des nœuds ou des arcs inutiles.
  - ▶ Restructurantes : modifient la manière dont le routage de données est réalisé.

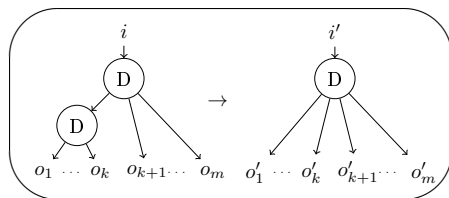
# Simplifications

- ▶ Suppressions :
  - ▶ élimination de code mort
  - ▶ réduction des identités
- ▶ Compactions :
  - ▶ repliage des hiérarchies de nœuds
  - ▶ fusion des canaux
- ▶ Suppression de synchronisation :
  - ▶ suppression de jonctions  $J - S$
  - ▶ propagation de constantes



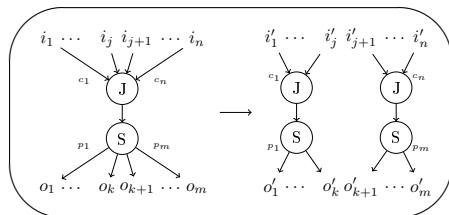
# Simplifications

- ▶ Suppressions :
  - ▶ élimination de code mort
  - ▶ réduction des identités
- ▶ Compactions :
  - ▶ repliage des hiérarchies de nœuds
  - ▶ fusion des canaux
- ▶ Suppression de synchronisation :
  - ▶ suppression de jonctions  $J - S$
  - ▶ propagation de constantes



# Simplifications

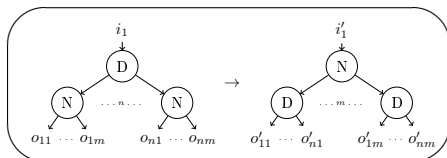
- ▶ Suppressions :
  - ▶ élimination de code mort
  - ▶ réduction des identités
- ▶ Compactions :
  - ▶ repliage des hiérarchies de nœuds
  - ▶ fusion des canaux
- ▶ Suppression de synchronisation :
  - ▶ **suppression de jonctions  $J - S$**
  - ▶ propagation de constantes





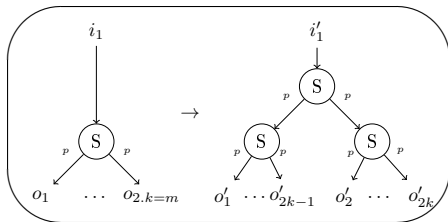
# Restructurations

- ▶ Factorisations : élimination des recalculs
  - ▶ inversion des Duplicate
  - ▶ inversion par uniformisation
- ▶ Regroupements : regroupement des  $S$  et  $J$  selon une congruence modulo  $d$
- ▶ Déroulage : déroulage des exécutions successives d'un nœud pur



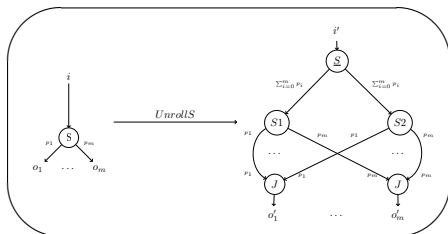
# Restructurations

- ▶ Factorisations : élimination des recalculs
  - ▶ inversion des Duplicate
  - ▶ inversion par uniformisation
- ▶ **Regroupements** : regroupement des  $S$  et  $J$  selon une congruence modulo  $d$
- ▶ Déroulage : déroulage des exécutions successives d'un nœud pur



# Restructurations

- ▶ Factorisations : élimination des recalculs
  - ▶ inversion des Duplicate
  - ▶ inversion par uniformisation
- ▶ Regroupements : regroupement des  $S$  et  $J$  selon une congruence modulo  $d$
- ▶ **Déroutage** : déroulage des exécutions successives d'un nœud pur



# Espace engendré

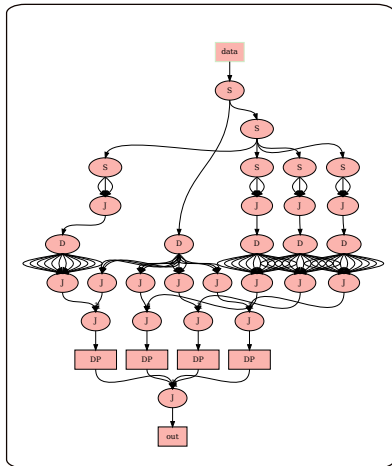
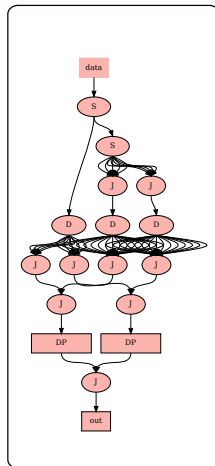
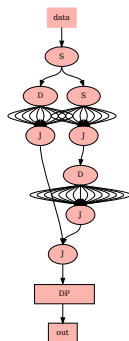
- ▶ Les dérivations de ces transformations engendrent un espace de programmes équivalents au programme original.
- ▶ Les transformations de déroulage rendent l'espace engendré infini...
- ▶ ... mais si on les compose avec des transformations simplificatrices :
  - ▶ Déroulage ◦ Suppression
  - ▶ Déroulage ◦ Sup. de synchronisation
  - ▶ Déroulage ◦ Déroulage<sup>-1</sup>
- ▶ ... on montre que l'espace engendré reste fini.

## Exploration exhaustive (1/2)

- ▶ L'espace étant fini, il peut-être exploré indépendemment de la fonction objectif choisie.
- ▶ On part d'un graphe initial, chaque transformation possible va créer une nouvelle branche d'exploration.
- ▶ On itère jusqu'à ce que tous les graphes équivalents aient été produits.
- ▶ Complexité au moins exponentielle en fonction du nombre de nœuds du graphe initial.

## Exploration exhaustive : Multiplication de matrices (2/2)

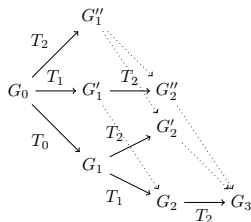
Graphe Original



- On sélectionne le graphe qui optimise la fonction objectif  $\phi(\text{Graphes})$ .

# Optimisations

- Couper les branches confluentes (transformations qui commutent)



- Appliquer les transformations simplificatrices systematiquement

# Heuristique : Recherche par faisceau

- ▶ Recherche par faisceau (Beamsearch) [Lowerre 76].
- ▶ Heuristique gloutonne : à chaque branchement on conserve uniquement les  $n$  meilleurs candidats (selon la métrique  $\phi$ ).
- ▶ Plus  $n$  est large plus la portion d'espace explorée est large.



# Où en est-on ?

- ▶ Ce qu'on a vu :
  - ▶ On définit un ensemble de transformations sur les programmes SJD.
  - ▶ On sait explorer l'espace engendré par ces transformations.
- ▶ Ce qu'on va voir :
  - ▶ Comment réduire le coût des communications entre différents cœurs avec cette méthode.

- ▶ Compile un graphe SJD vers du code C :
  - ▶ partitionnement
  - ▶ ordonnancement
  - ▶ fusion des tâches et des communications
  - ▶ génération de code
- ▶ Implémenté en Python ( 10000 lignes de code).

# Benchmarks

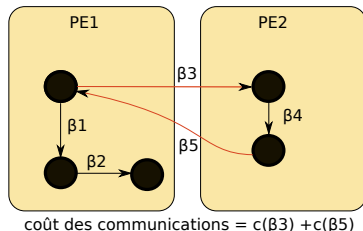
- ▶ Programmes SLICES compilés :
  - ▶ MM-COARSE et MM-FINE : multiplication de matrices (12x12)
  - ▶ GAUSS : Filtre de Gauss (sur des images 10x10 et 100x100)
  - ▶ HOUGH : Filtre de Hough (sur des images 10x10 et 100x100)
- ▶ Programmes SJD tirés de StreamIt :
  - ▶ FFT : transformée rapide de Fourier (vecteurs de taille 16)
  - ▶ DES : chiffrement (vecteurs de taille 16)
  - ▶ BITONIC : tri (vecteurs de taille 8)
  - ▶ DCT : transformée en cosinus discrète
  - ▶ FM : démodulateur FM
  - ▶ CHANNEL : vocodeur

# Réduction des communications

- ▶ Diminuer le coût des communications entre processeurs.
- ▶ Les communications au sein d'un même processeur ont un coût nul.
- ▶ Coût des communications sur un arc  $e$  entre deux processeurs :

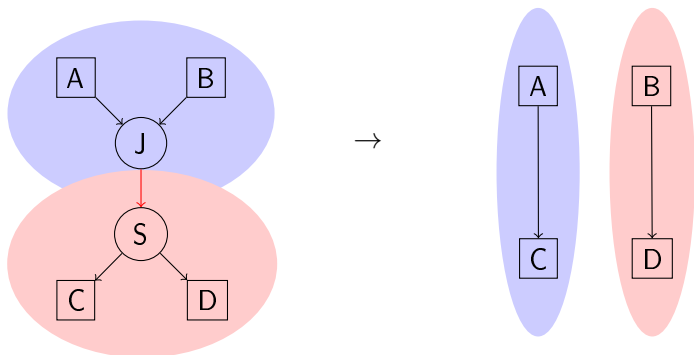
$$c = c_0 + \frac{\beta(e)}{bw}$$

- ▶ Architecture faible latence :  $c_0$  négligeable.



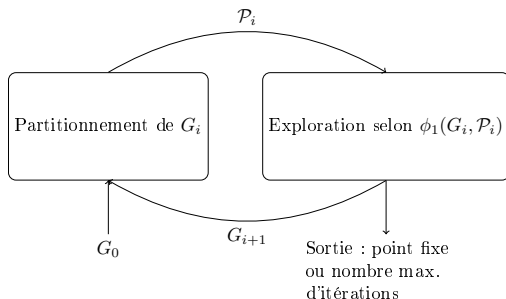
## Fonction objectif indirecte

- ▶ Lors de l'exploration le partitionnement n'est pas connu ...
- ▶ ... comment mesurer le coût inter-processeurs ?
- ▶ Métrique indirecte  $\phi_0$  : **réduire les points de synchronisation.**

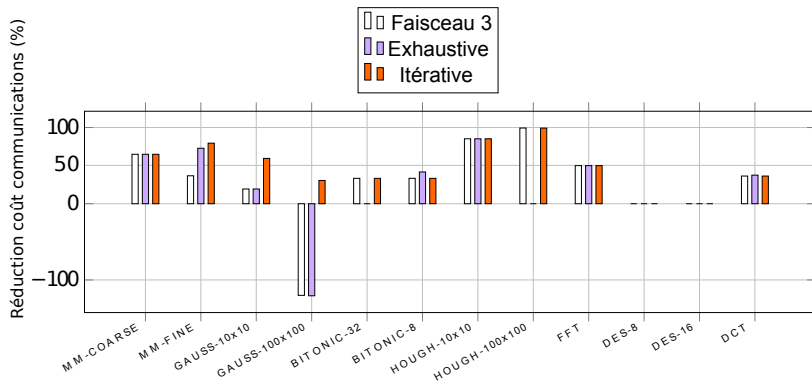


# Méthode itérative

- ▶ Métrique directe  $\phi_1$  : coût de communications inter-processeur.
- ▶ Il faut connaître le partitionnement ...
- ▶ ... exploration itérative.



# Résultats sur une architecture à faible latence (1)



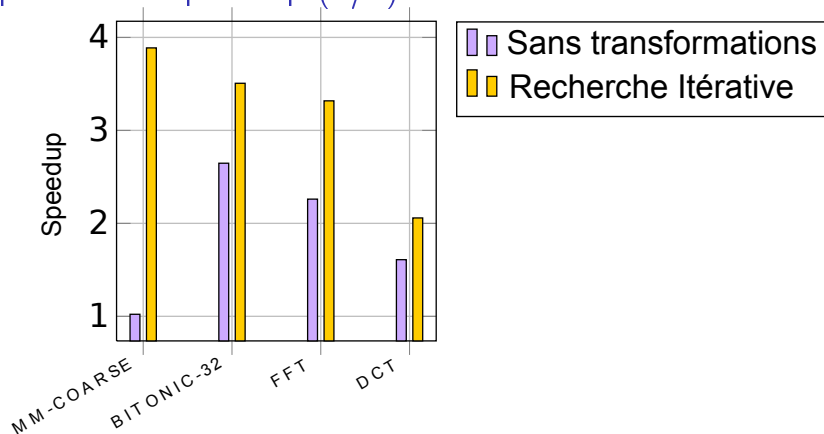
- Réduction du coût des communications sur une architecture à faible latence avec 4 cœurs.

## Résultats sur une architecture à faible latence (2)

Programme	Exhaustive $\phi_0$		Faisceau 3 $\phi_0$		Itérative $\phi_1$	
	R(%)	T(s)	R(%)	T(s)	R(%)	T(s)
MM-COARSE	64.9	2.2	64.9	2.5	64.9	4.5
MM-FINE	72.8	9.4	36.7	2.5	79.4	5.8
GAUSS-10x10	19.4	230.9	19.4	51.3	59.5	9.9
GAUSS-100x100	-120.8	2558.1	-120.2	18.1	30.5	18.4
BITONIC-32	-	stop	33.3	575.9	33.3	925.4
BITONIC-8	41.7	105.1	33.3	5.5	33.3	8.9
HOUGH-10x10	85.2	1.3	85.2	1.6	85.2	3.9
HOUGH-100x100	-	stop	99.3	91.4	99.2	411.7
DES-16	-	stop	0.0	63.1	0.0	65.5
DES-8	0.0	77.2	0.0	11.7	0.0	17.3
FFT	50.0	1148.6	50.0	18.8	50.0	10.0
DCT	37.5	0.5	36.3	0.5	36.3	10.3



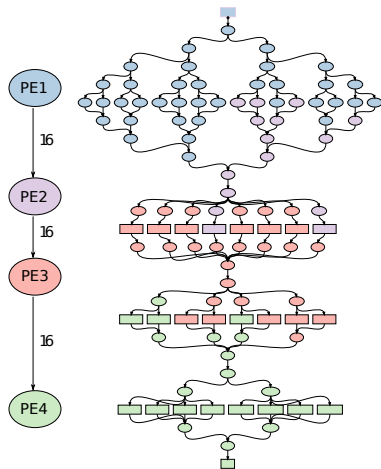
## Impact sur le speed-up (1/2)



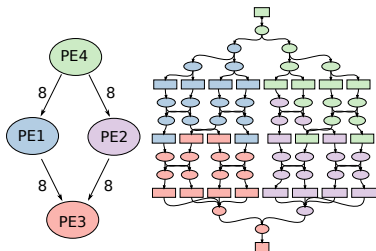
- ▶ Quadricœur Nehalem Xeon W3520 cadencé à 2.67GHz avec 8MB de cache L3
- ▶ Code séquentiel de référence compilé avec `streamit -O3`
- ▶ MM-COARSE : Backend SJD + `clang-1.1 -O2`
- ▶ AUTRES : Backend SJD + `gcc-4.3 -O3`

## Impact sur le speed-up : FFT (2/2)

FFT : Graphe Original StreamIt



FFT : Après transformations





# Conclusion

- ▶ Problématique : optimiser l'accès aux données.
- ▶ On sépare les problèmes de l'expression (SLICES) et de l'optimisation (SJD)
- ▶ Expression SLICES :
  - ▶ Langage haut-niveau et multidimensionnel.
  - ▶ Presque aussi expressif que ArrayOL (itérations non parallèle aux axes).
  - ▶ Efficacement compilé.
- ▶ Optimisation SJD :
  - ▶ On étend les transformations de StreamIt aux graphes arbitraires.
  - ▶ Formalisation robuste des transformations.
  - ▶ On peut utiliser des métriques arbitrairement complexes pour l'exploration.
- ▶ Implémenté un prototype de cette chaîne de compilation.

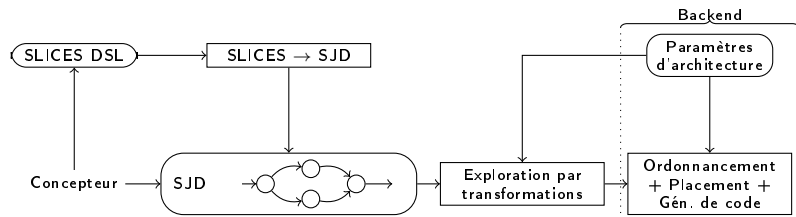
# Perspectives

- ▶ Métriques plus complexes :
  - ▶ combiner plusieurs objectifs dans l'exploration
  - ▶ adapter les patrons d'accès aux mécanismes architecturaux (SIMD)
- ▶ Étendre les transformations à SJD avec contrôle
- ▶ Entrées et Transformations paramétriques
- ▶ SLICES déclaration des libertés d'ordre (réductions, etc.)

# Bibliographie

-  G. Bilsen, M. Engels, R. Lauwereins & JA Peperstraete.  
*Cyclo-static data flow.*  
In Acoustics, Speech, and Signal Processing, 1995.  
ICASSP-95., 1995 International Conference on, volume 5, 1995.
-  D. Black-Schaffer.  
*Block Parallel Programming for Real-Time Applications on Multi-core Processors.*  
PhD thesis, Stanford University, 2008.
-  P. Boulet.  
*Array-OL revisited, multidimensional intensive signal processing specification.*  
Research Report RR-6113, INRIA, 2007.
-  Yoonseo Choi, Yuan Lin, Nathan Chong, Scott Mahlke & Trevor Mudge.  
*Stream Compilation for Real-Time Embedded Multicore Systems.*  
In Int. Symp. on Code Generation and Optimization, pages 210–220, Washington, DC, USA, 2009. IEEE Computer Society.
-  Michael I. Gordon, William Thies, Michal Karczmarek, Jasper Lin, Ali S. Meli, Andrew A. Lamb, Chris Leger, Jeremy Wong, Henry Hoffmann, David Maze & Saman Amarasinghe.  
*"A Stream Compiler for Communication-Exposed Architectures".*  
In Int. Conf. on Architectural Support for Programming Languages and Operating Systems, pages 291–303. ACM, 2002.
-  Shih-wei Liao, Zhaohui Du, Gansha Wu & Guei-Yuan Lueh.  
*Data and Computation Transformations for Brook Streaming Applications on Multiprocessors.*  
In Int. Symp. on Code Generation and Optimization, Washington, DC, USA, 2006. IEEE Computer Society.
-  Bruce T. Lowerre.  
*The Harpy Speech Recognition System.*  
PhD thesis, Carnegie Mellon University, Pittsburgh, PA, USA, 1976.

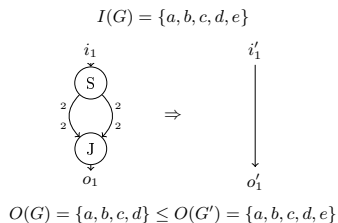
# Vue globale du compilateur



## Complexité des graphes

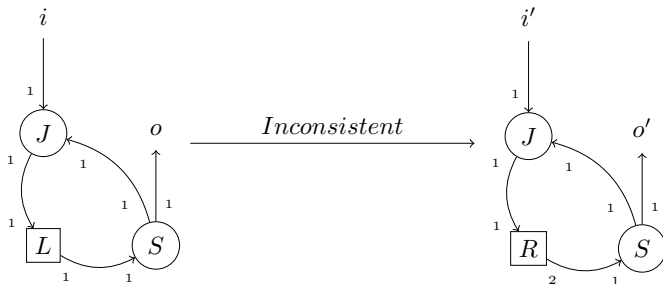
<i>Programme</i>	<i>Nœuds</i>	<i>Arcs</i>	<i>Routage</i>	<i>Filtres</i>	<i>E/S</i>	<i>Cycles</i>
MM-COARSE	16	52	10	4	2	0
MM-FINE	19	56	12	4	3	1
GAUSS-10x10	32	50	24	2	6	0
GAUSS-100x100	32	50	24	2	6	0
HOUGH-100x100	16	10018	9	3	4	1
HOUGH-10x10	16	118	9	3	4	1
FFT	110	145	82	24	4	0
DES-8	215	286	96	101	18	0
DES-16	423	566	192	197	34	0
BITONIC-8	52	69	24	24	4	0
BITONIC-32	374	598	130	240	4	0
CHANNEL	57	72	4	51	2	0
FM	43	53	14	27	2	0
DCT	40	69	4	34	2	0

# Justification de la propriété préfixe de correction





# Inconsistance

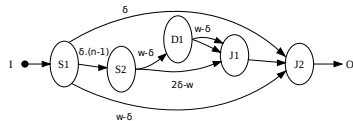
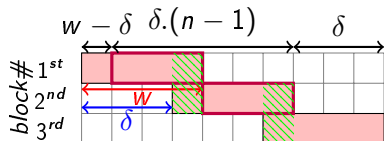


$$f_L = \{pop(); push(1);\}$$

$$f_R = \{pop(); push(1); push(1);\}$$

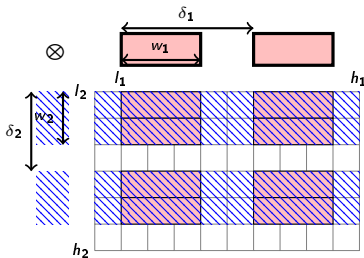
# Compilation patrons 1 dimension

- ▶ `block[1]`, trois cas possibles :
  1.  $\frac{w}{\delta} \leq 1$ , pas de chevauchement.
  2.  $1 < \frac{w}{\delta} < 2$ , chevauchement partiel.
  3.  $2 \leq \frac{w}{\delta}$ , chevauchement total.
- ▶ Pour chaque cas on produit un graphe SJD adéquat.

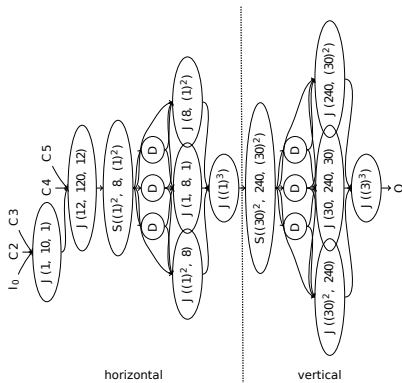


# Compilation patrons n dimensions

- ▶  $\text{block}[n]$  produit cartésien de  $\text{block}[1]$
- ▶ Graphe SJD  $\text{block}[n]$  reconstruit avec les graphes obtenus par projection sur chacune des dimensions (modulo redimensionnement et réordonnement).

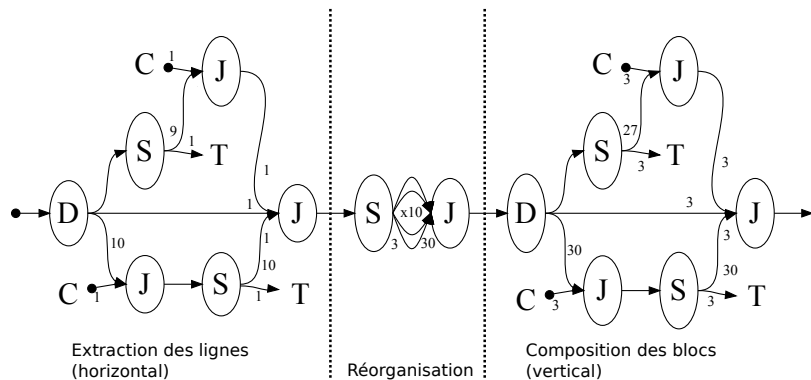


# Compilation du filtre Gaussien



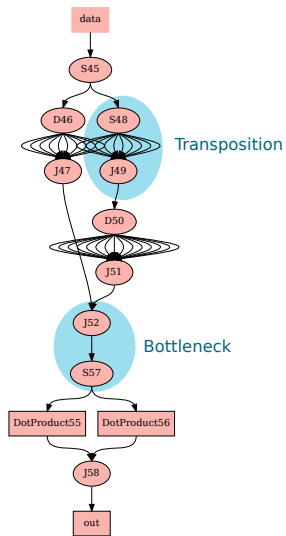
- ▶ Toutes les données dupliquées sont consommées.
- ▶ On duplique le plus tard possible : Réduire la bande passante des nœuds en aval.
- ▶ Le nombre d'arcs ne dépend que de la taille des blocs extraits.

# Compilation du filtre Gaussien

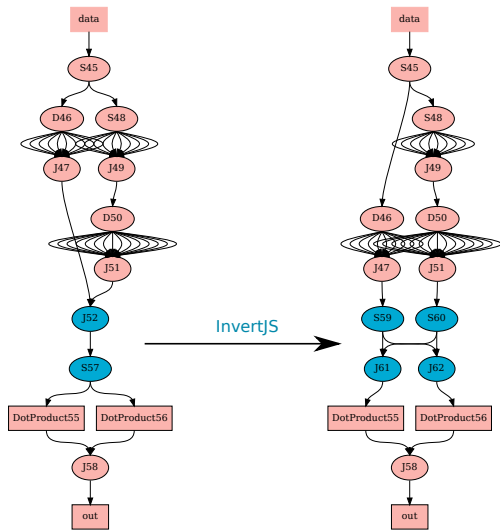


- ▶ Toutes les données dupliquées sont consommées.
- ▶ On duplique le plus tard possible : Réduire la bande passante des nœuds en aval.
- ▶ Le nombre d'arcs ne dépend que de la taille des blocs extraits.

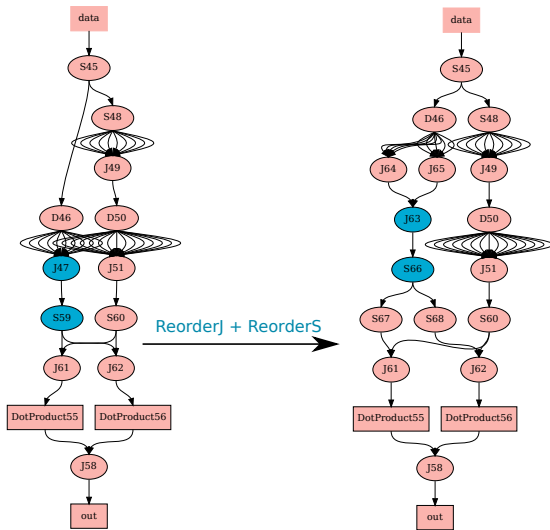
# Dérivation : Multiplication de matrices



# Dérivation : Multiplication de matrices

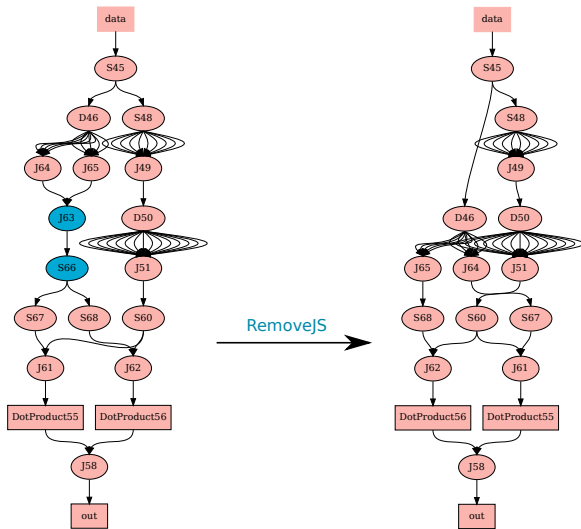


# Dérivation : Multiplication de matrices

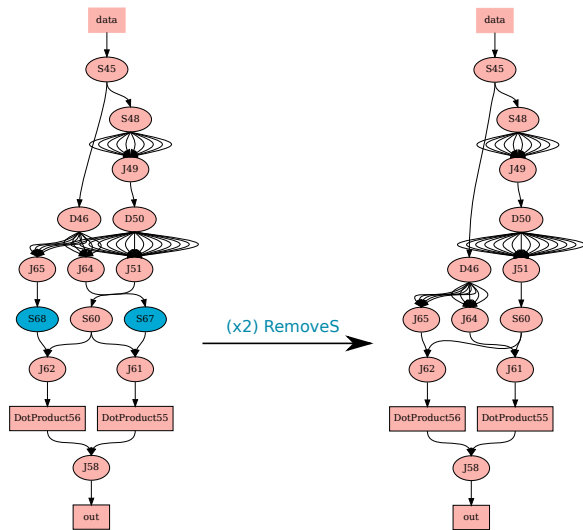




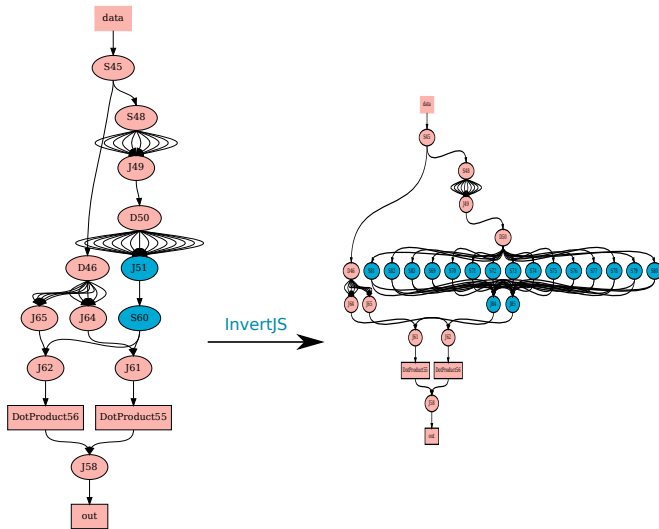
# Dérivation : Multiplication de matrices



# Dérivation : Multiplication de matrices

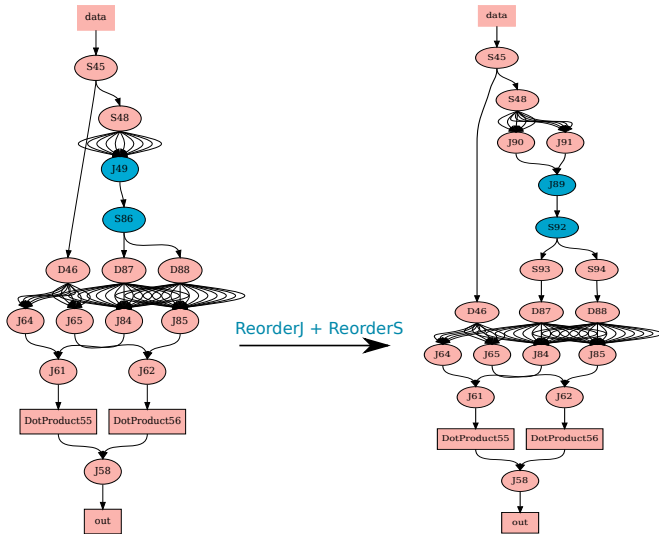


# Dérivation : Multiplication de matrices

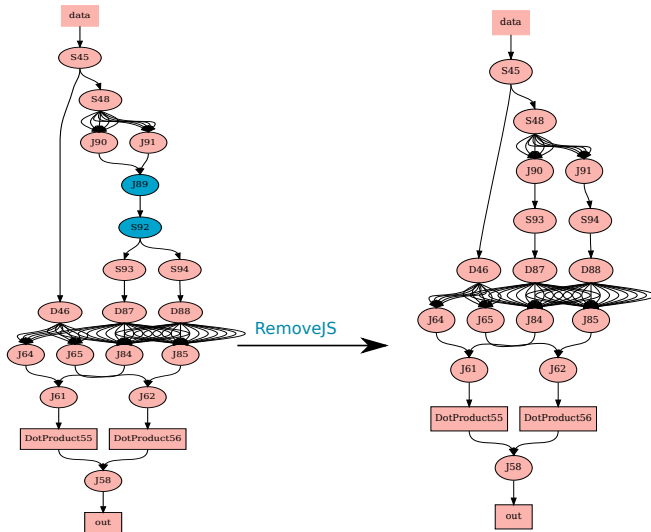




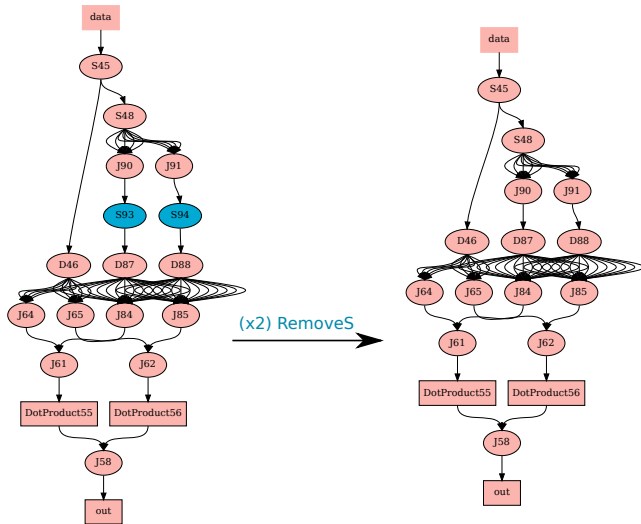
# Dérivation : Multiplication de matrices



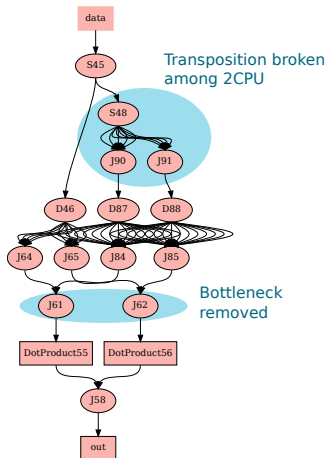
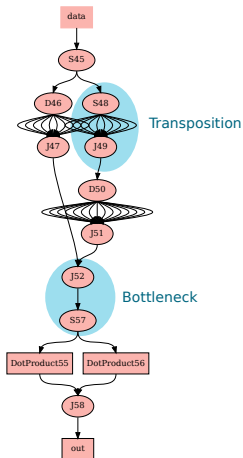
# Dérivation : Multiplication de matrices



# Dérivation : Multiplication de matrices

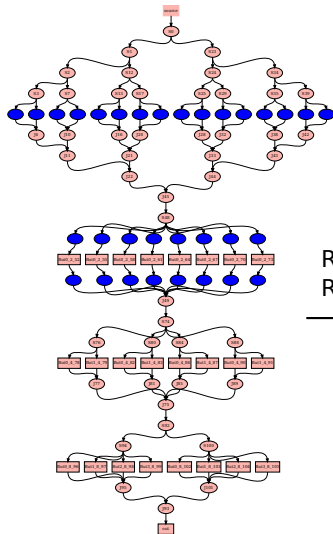


# Dérivation : Multiplication de matrices

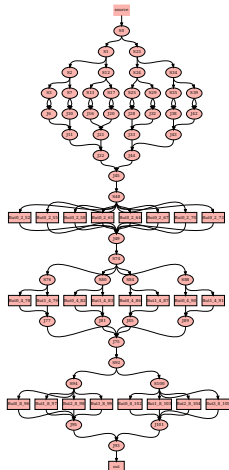




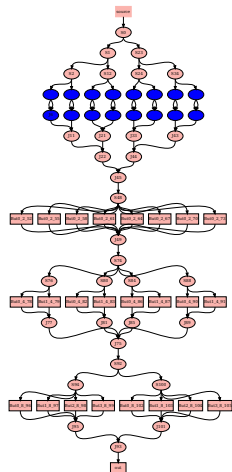
## Dérivation : FFT



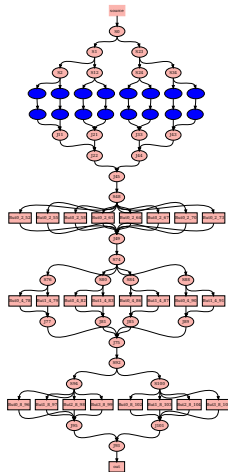
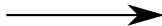
RemoveS  
RemoveJ



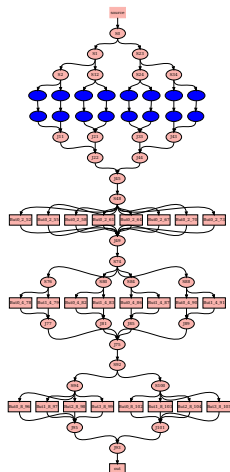
# Dérivation : FFT



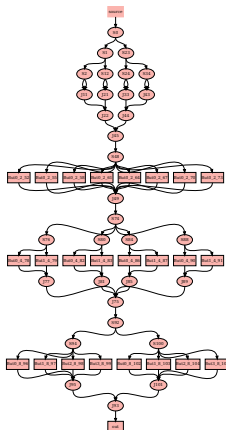
SimplifySJ



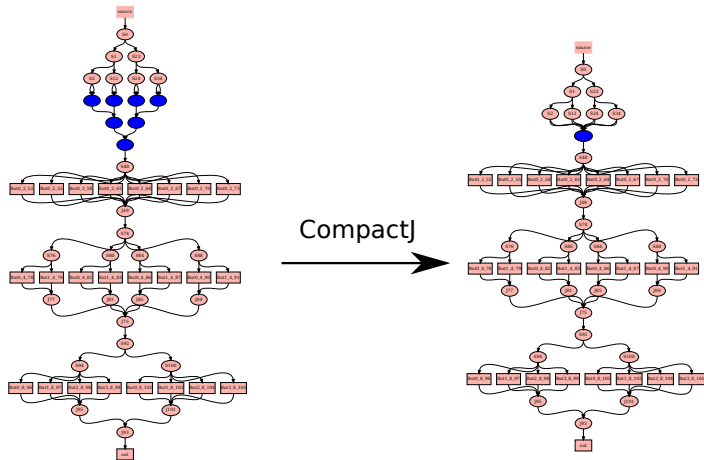
# Dérivation : FFT



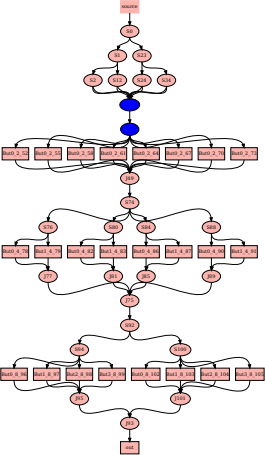
RemoveS  
RemoveJ



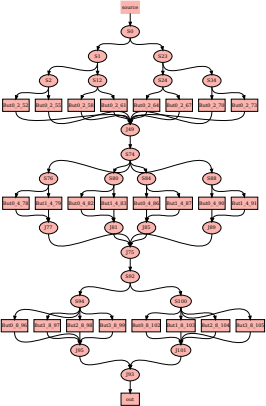
# Dérivation : FFT



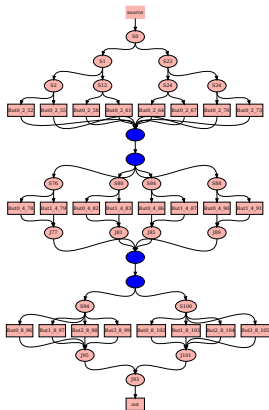
# Dérivation : FFT



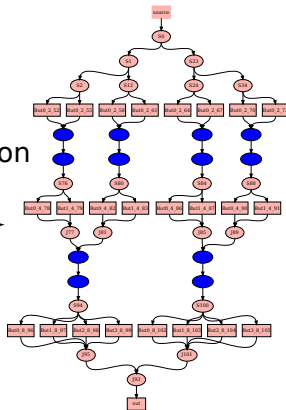
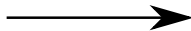
RemoveJS



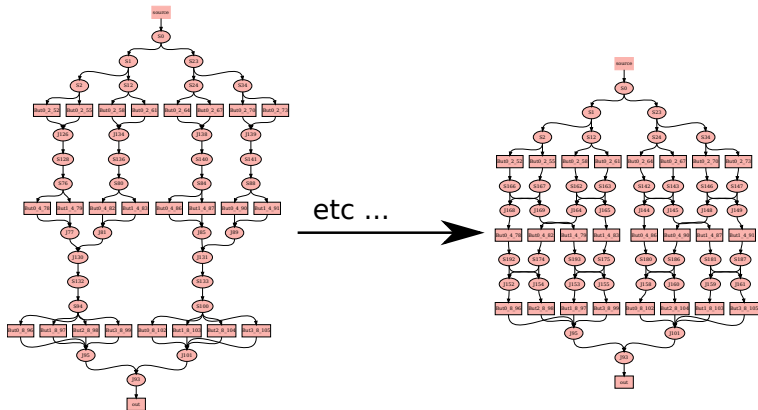
# Dérivation : FFT



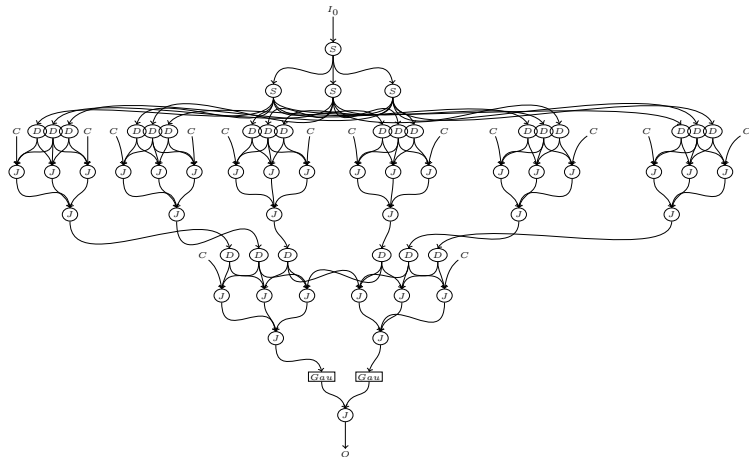
Synchronization  
Removal



## Dérivation : FFT



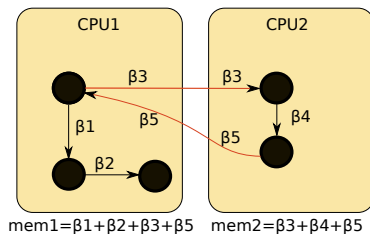
# Dérivation : Gauss





# Réduction de la mémoire

- ▶ Pas de mémoire partagée.
- ▶ On ne prends pas en compte la mémoire d'instructions.



- ▶ On veut minimiser la mémoire locale nécessaire par processeur :

$$minP = \textcolor{red}{max}(mem_i)$$

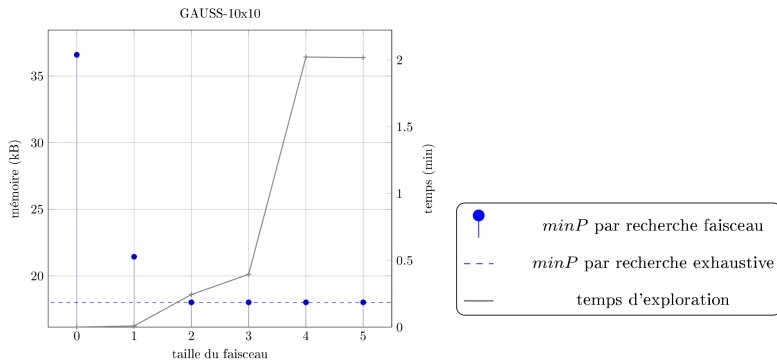
# Fonction objectif

- ▶ Fonction objectif : réduit la mémoire maximale par arc, puis la mémoire totale du graphe,

$$\phi_{mem}(G) = (\max_{e \in G} \beta(e), \sum_{e \in G} \beta(e))$$

- ▶ On mesure  $minP$  avec la partitionnement [Choi 09] :
  - ▶ sur le graphe original
  - ▶ sur le graphe qui minimise  $\phi_{mem}$  obtenu par transformations

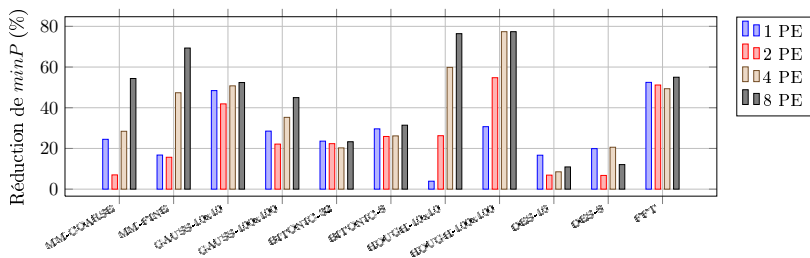
# Réduction sur 4 cœurs pour Gauss-10x10



## Faisceau contre Exhaustive

Programme	Réduction mémoire (%)		Temps d'exploration (s)	
	Exhaustive	Faisceau-3	Exhaustive	Faisceau-3
MM-COARSE	28.4	28.4	1.0	1.1
MM-FINE	47.4	47.4	4.3	2.2
GAUSS-10x10	50.8	50.8	107.9	23.7
GAUSS-100x100	39.9	35.3	1140.2	59.3
BITONIC-32	-	20.3	interrompu	418.5
BITONIC-8	29.9	26.2	43.0	3.7
HOUGH-10x10	59.6	59.8	0.6	0.6
HOUGH-100x100	-	77.4	interrompu	40.8
DES-16	-	8.5	interrompu	61.2
DES-8	24.6	20.6	34.3	6.7
FFT	50.6	49.4	511.4	12.6
CHANNEL	2.9	2.9	0.0	0.1
DCT	7.9	7.9	0.4	0.4
FM	12.5	12.5	0.0	0.0

# Réduction de la mémoire en fonction du nombre de cœurs



- Réductions négligeables pour DCT, FM et CHANNEL : utilisation faible des nœuds de routage.